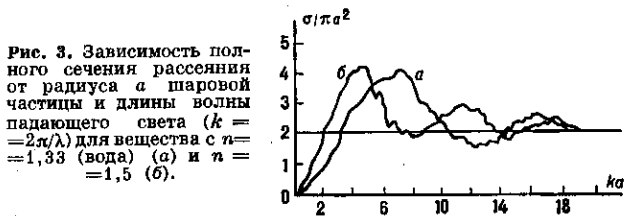


с появляются при  $nka = j\pi$  (где  $j \sim$  целое число и  $n$  — вещественно) и достигают значений  $\sigma = 6\pi a^2$  (р е з о н а н с ы М и).



С ростом  $ka$  при произвольных  $n$  вариации  $\sigma$  уменьшаются и  $\sigma \rightarrow 2\pi a^2$ . Это отличие предельного  $\sigma$  от площади геом. тени  $2\pi a^2$  объясняется дифракцией, из-за к-рой на больших расстояниях от частицы граница тени широко размыта.

Индикатриса рассеяния по мере роста  $ka$  становится не симметричной (рис. 4), а вытягивается вперёд. Немонотонность угл. распределения при  $ka \gg 1$  появляется, начиная с  $ka > \lambda$ . Угл. распределение быстро и остро меняется по направлениям и в зависимости от  $ka$  (и н и д и к а т р и с и й э ф ф е к т М и). Так же резко меняется поляризация рассеянного света.

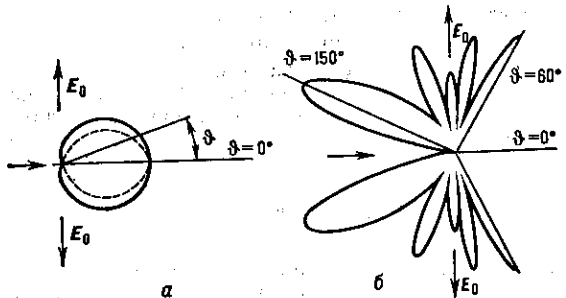


Рис. 4. Индикатрисы рассеяния линейно поляризованного света дипольным шаром с  $n = 1,25$  при  $ka = 1,6$  (а) и  $ka = 8$  (б). Сплошные линии соответствуют поляризации, перпендикулярной плоскости рассеяния, пунктируя — поляризации в плоскости рассеяния.

При  $ka \gg 1$  Р. с. диэлектрич. частицами удовлетворительно описываются геом. оптикой с учётом интерференции лучей, падающих и последовательно отражённых и преломлённых на границах частиц. Так, без тонкой структуры (напр., «рябь» на рис. 3) описываются радуги разл. порядков, ореолы и др. явления. Эффекты окрашивания рассеянного света (изначально падающего — белого) объясняются при этом особенностями зависимости угл. распределения. Тонкая структура объясняется эффектами краевой дифракции, в частности «рябь» — интерференцией между волной, дифрагирующей на краю, и поверхностью волной, огибающей частицу.

**Рассеяние света в средах.** Практически всегда наблюдается Р. с. объектами с большим числом атомных частиц. Картина рассеяния создаётся в результате интерференции излучений вторичных волн отдельными атомными частицами. Из-за большого их числа образуется мелкомасштабное пространственное распределение интенсивности рассеянного света. Практически эта тонкая структура рассеяния никогда не регистрируется, а усредняется, т. к. апертура регистрирующих устройств намного превосходит масштабы структуры. Поэтому Р. с. в средах описывается статистич. методами в форме усреднения по реализациям расположений рассеивающих атомных частиц.

В протяжённых и оптически плотных средах, кроме интерференции, существует др. коллективный эффект —

взаимное облучение частиц рассеянным излучением, называемое многократным Р. с. В гипотетической идеально однородной бесграничной среде происходит полное интерференц. гашение излучения, рассеянного во всех направлениях всеми элементами среды, за исключением направления распространения падающей волны. Вместе с последней рассеянное излучение образует результатирующую, распространяющуюся как падающее со скоростью  $< c$ , определяемой показателем преломления среды. Эти утверждения, называемые теоремой Эвальда — Озенна, справедливы для однородных сред при произвольной многократности Р. с. В ограниченной однородной среде Р. с., включая многократное, проявляется в виде граничных отражения света и преломления света и описывается соответствующими законами Снелля и Френеля.

Для неоднородной среды понятие многократного Р. с. связывается с взаимным облучением частей среды, вызванным только её неоднородностью. Часто в качестве характеристики кратности Р. с. в среде без поглощения принимают оптическую толщину. Явления Р. с. в оптически толстых средах наиб. сложные для описания.

Принято разделять случаи Р. с. макроскопич. и микроскопич. неоднородностями. С первыми связываются Р. с. в разл. дисперсных средах и на шероховатых поверхностях; ко вторым относят Р. с. в макроскопически однородных средах, неоднородность к-рых вызвана флюктуациями.

Рассеяние света макроскопич. неоднородностями — обычно многократное рассеяние в дисперсных средах. В оптически тонких дисперсных средах характер Р. с. определяется усреднёнными индивидуальными свойствами отд. частиц: размерами, формами, отличием их показателей преломлений от показателя преломления окружающей среды и т. д. Р. с. в оптически толстых дисперсных средах описываются ур-ниями переноса плотности некогерентного излучения (см. Перенос излучения), для решения к-рых разработаны спец. численные методы.

Особый случай Р. с. макроскопич. неоднородностями представляет рассеяние шероховатыми поверхностями, масштаб рельефа поверхности к-рых сравним с  $\lambda$  (см. Рассеяние волн на случайной поверхности). Угл. спектр рассеянного излучения состоит из зеркально отражённой и диффузной составляющих. Угл. распределение диффузной составляющей излучения определяется пространственным спектром рельефа поверхности, видимого под углом падения. При скользящих углах падения угл. спектр рассеяния сужается, что проявляется в характерном блеске поверхности, рассматриваемой под малыми углами. При многократном Р. с. на шероховатой поверхности диффузная составляющая становится почти изотропной, а зеркальная — исчезает. В этом случае поверхность выглядит матовой.

**Молекулярное рассеяние света** — рассеяние в макроскопически однородных средах на микроскопич. неоднородностях — спонтанно появляющихся и исчезающих флюктуациях термодинамич. параметров среды: плотности, темп-ры и т. п. При этом оптич. неоднородность изотропной среды определяется неоднородностью диэлектрич. проницаемости  $\epsilon(r, t)$ , в к-рой есть регулярная составляющая  $\bar{\epsilon}$  и стохастическая  $\tilde{\epsilon}(r, t) = \epsilon(r, t) - \bar{\epsilon}$ , связанная с флюктуациями термодинамич. параметров среды. Т. к. даже в оптически изотропной среде, в к-рой  $\bar{\epsilon}$  — скалярная величина, возможны флюктуации анизотропии, то  $\epsilon(r, t)$  — величина тензорная.

Р. с. на диэлектрич. неоднородностях в оптически тонких средах определяется пространственно-временным спектром корреляторов  $\langle \tilde{\epsilon}(r_1, t_1) \tilde{\epsilon}(r_2, t_2) \rangle$ , в к-ром усреднение  $\langle \dots \rangle$  проводится по всему ансамблю реализаций состояний среды. В однородной по пространству и во времени среде этот коррелятор зависит только от  $|r_2 - r_1|$  и от  $|t_2 - t_1|$  и характеризуется